

اختبار وظائف الرئة (قياس معدل ذروة التدفق الزفيري) لمجموعة من الطلبة في أعمار مختلفة في مدينة مصراته

عادل عمر أبوذبوس ^{1*}, مصطفى عمر الشريف ², سندس صلاح السوسي ³, مريم سعد ابوجرادة ⁴

¹ قسم علم الحيوان، كلية العلوم، جامعة مصراته، مصراته، ليبيا

^{4:3,2} قسم علم الحيوان، كلية العلوم، جامعة المرقب، الخمس، ليبيا

Pulmonary Function Test (Peak Expiratory Flow Rate Measurement) Among a Group of Students of Different Ages in Misrata City

Adel O. Abudabus ^{1*}, Mostafa O. Alsharif ², Sundus S. Alswisi ³,
Maryam S. Abujarada ⁴

¹ Zoology Department, Faculty of Sciences, Misrata University, Misrata, Libya

^{2,3,4} Zoology Department, Faculty of Sciences, Elmergib University, Al-Khoms, Libya

*Corresponding author: adelabodabbus@gmail.com

Received: July 30, 2025

Accepted: September 14, 2025

Published: September 24, 2025

الملخص

يعد قياس ذروة التدفق الزفيري (PEFR) أمراً ضرورياً لتنبئ وتقدير الأطفال والأشخاص المصابين بالإمراض التنفسية وعلى رأسها الربو وانسداد الشعب والقنوات التنفسية. أجريت هذه الدراسة لقياس PEFR لدى مجموعة من أطفال المدارس الأصحاء في مدينة مصراته الذين تراوحت أعمارهم بين 9-10 سنوات، وأيضاً تم فحص مجموع من طلبة كلية العلوم الذين تراوحت أعمارهم بين 18-24 عاماً. تم إجراء الدراسة لقياس معدل ذروة التدفق الزفيري كجزء من تقييم وظائف الرئة على عدد 160 طالب و80 طالبة من أطفال المدارس (23 طالب و110 طالبة من طلبة كلية العلوم)، استخدم طلبة المدارس مقياس Mini Wright peak Flow Meter، تم تسجيل أفضل القراءات الثلاث. أظهرت نتائج الدراسة الحالية أن جميع المتغيرات المستقلة الثلاث (العمر، الطول، والوزن) كان لها علاقة إيجابية معنوية مع PEFR في كلا الجنسين. فقد كان متوسط التدفق الزفيري في طلبة الكلية 11.23 ± 300.38 لتر/الدقيقة أعلى منه في طلبة المرحلة الابتدائية 2.87 ± 197.88 لتر/الدقيقة، وهذا الارتفاع كان معنويًا، لاحظنا أيضًا أن معدل التدفق الزفيري كان في الذكور (279.21 ± 14.72) بينما في الإناث (225.81 ± 4.58) لتر/الدقيقة) ولكن مقارنة بالمقياس الأوروبي تعتبر هذه القيم المسجلة منخفضة. هذا الارتفاع كان معنويًا $P \leq 0.05$ وأنه عند الذكور أعلى من الإناث. بالنسبة للعمر ومن خلال النتائج المتحصل عليها، عمر العشر سنوات اختلف عن عمر التسع سنوات وهذا الاختلاف معنويًا أيضًا 3.74 ± 4.10 لتر/الدقيقة) 207.18 ± 188.56 لتر/الدقيقة على التوالي. مما يتضح أن كلما زاد العمر ارتفع معدل التدفق الزفيري. بينت النتائج أيضًا أن الطول والوزن كان لهما ارتباط وثيق بمعدل التنفس PEFR. فقد بينت النتائج وجود علاقة طردية إيجابية مع معدل ذروة التدفق الزفيري فقد سجلت النتائج الحالية (a) للوزن بينما ($r=0.487$) للطول على التوالي. إذا فقد وجدت علاقة بين معدل ذروة التنفس والوزن والطول وأنه كلما زاد الطول أو الوزن زاد معدل ذروة التنفس الزفيري في كلا الجنسين. تم تحديد معادلة الانحدار الخطى للوزن والطول ($r=0.435$) على التوالي مما يبين أن الطول سجل أقصى ارتباط مع معدل ذروة التدفق الزفيري.

الكلمات المفتاحية: وظائف الرئة، الجنس، الطول، العمر، الوزن، PEFR

Abstract

Measurement of Peak Expiratory Flow Rate (PEFR) is essential for monitoring and evaluating children and individuals with respiratory disorders, particularly asthma and airway obstruction. This study was conducted to assess PEFR among a group of healthy schoolchildren in Misrata, aged **9–10 years**, as well as students from the

Faculty of Science aged 18–24 years. A total of 160 schoolchildren (80 boys and 80 girls) and 133 college students (23 males and 110 females) participated in the study. PEFR was measured using a **Mini Wright Peak Flow Meter**, and the highest value from three attempts was recorded.

The results showed that all three independent variables (**age, height, and weight**) had a significant positive correlation with PEFR in both sexes. The mean PEFR among college students (300.38 ± 11.23 L/min) was significantly higher than that of schoolchildren (197.88 ± 2.87 L/min). Additionally, male participants exhibited higher PEFR values (279.21 ± 14.72 L/min) compared to females (225.81 ± 4.58 L/min), although these values remain lower than the reference European standards. This difference between sexes was statistically significant ($P \leq 0.05$).

Age-related differences were also significant: 10-year-old children had higher PEFR values (207.18 ± 4.10 L/min) compared to 9-year-olds (188.56 ± 3.74 L/min), indicating that PEFR increases with age. Moreover, a strong positive correlation was observed between PEFR and both **height** and **weight**. The correlation coefficients were $r = 0.487$ for weight and $r = 0.659$ for height, suggesting that taller and heavier individuals tend to have higher PEFR values in both sexes. Linear regression analysis further confirmed that height showed the strongest association with PEFR ($r = 0.435$) compared to weight ($r = 0.237$).

In conclusion, PEFR is significantly influenced by age, sex, height, and weight. These findings highlight the importance of considering anthropometric variables when evaluating pulmonary function among children and young adults.

Keywords: Pulmonary Function, Gender, Height, Age, Weight, Peak Expiratory Flow Rate (PEFR)

1. المقدمة

ضيق التنفس، أو صعوبة التنفس، هو اضطراب منتشر يصيب عدداً كبيراً من الأفراد. وهو يمثل اضطراباً في عملية التنفس، والتي تحدث عادةً من خلال استنشاق وزفير الهواء دون عناء. ونتيجة لذلك، قد يعاني الأفراد من صعوبة في الحصول على إمدادات كافية من الأكسجين. قد تكون هذه الحالة مصحوبة أيضاً بألم في الصدر وغالباً ما ترتبط بأمراض الجهاز التنفسي وأمراض القلب والأوعية الدموية [1].

يتنفس الفرد السليم عادةً حوالي 20 مرة في الدقيقة الواحدة، أي حوالي 30,000 نفس في اليوم الواحد. يمكن لعوامل خارجية مختلفة، مثل درجات الحرارة الباردة والإجهاد، أن تؤثر على معدل التنفس؛ ومع ذلك، فمن غير المتوقع بشكل عام أن تؤدي هذه العوامل إلى الإحساس بضيق التنفس. يمكن إجراء اختبار وظائف الرئتين، المعروف باسم قياس التنفس، لتقدير حجم الهواء الذي يمكن استنشاقه وزفيره من الرئتين، وكذلك سرعة هذه العملية. يمكن أن يكون هذا الاختبار مفيداً في تشخيص حالات مثل الربو ومرض الانسداد الرئوي المزمن [2].

يتميز التهاب الشعب الهوائية المزمن (Chronic Bronchitis) بالتهاب مجرى الهواء المستمر المرتبط غالباً بالعدوى البكتيرية، وبالتالي يطلق عليه "التهاب الشعب الهوائية البكتيري المطول" (PBB). وتشير الدراسات الطولية إلى أن CB في مرحلة الطفولة يستمر حتى مرحلة البلوغ في مجموعة فرعية. ويمكن أن يرتبط أيضاً بأمراض الجهاز التنفسي المزمنة في المستقبل بما في ذلك الربو وتوسيع القصبات ومرض الانسداد الرئوي المزمن Chronic Obstructive Pulmonary Disease (COPD). ويرتبط CB لدى البالغين تقليدياً بالتدخين والتعرض المهني والوضع الاجتماعي والاقتصادي المنخفض [3]. تُعرف أحجام الرئة أيضاً بأبحاجم الجهاز التنفسي، ويشير حجم الرئة إلى حجم الغاز الموجود في الرئتين في وقت معين خلال الدورة التنفسية. يتم اشتاقاق قرات الرئة من مجموعة أحجام الرئة المختلفة. يبلغ متوسط إجمالي سعة الرئة لدى الإنسان البالغ حوالي 6 لترات من الهواء. بعد قياس حجم الرئة جزءاً لا يتجزأ من اختبار وظائف الرئة. تمثل هذه الأحجام إلى الاختلاف اعتماداً على عمق التنفس والعمر والجنس والجنس والعمر وتكوين الجسم [4].

معدل ذروة التدفق الزفير (PEFR) peak expiratory flow rate هو الحد الأقصى لمعدل التدفق (معبراً عنه باللترات في الدقيقة [L/min]) الناتج أثناء الزفير القوي، بدءاً من الشهيق الكامل.

يحدث تدفق الهواء الأقصى خلال الجزء المعتمد على الجهد من الدفع الزفير، وبالتالي قد تكون القيم المنخفضة ناجمة عن جهد أقل من الحد الأقصى وليس بسبب انسداد مجرى الهواء. ومع ذلك فإن معدل (PEFR) يختلف بين الأفراد ذوي البنية الجسدية المماثلة، هذا الاختلاف له علاقة بحجم مجرى الهواء مقابل حجم الرئة، ومع ذلك فإن سهولة قياس معدل ذروة التدفق الزفيري باستخدام جهاز محمول صغير غير مكلف جعله شائعاً كوسيلة لمتابعة درجة انسداد مجرى الهواء لدى المرضى الذين يعانون من الربو والأمراض الرئوية الأخرى [5].

أيضاً تبين أنه بشكل عام كلما كان الشخص أطول أو أصغر سناً، زاد معدل PEFR فالذكور الطبيعيين لديهم PEFR أعلى من الإناث الطبيعيات من نفس الشيء. فالذكور يتراوح نطاق PEFR بين 450 و700 لتر في الدقيقة (لتر/دقيقة) أما الإناث فيتراوح معدل PEFR ما بين 300 و500 (لتر/دقيقة) [6].

إن تقييم ذروة تدفق الزفير هو اختبار لعيار مجرى الهواء وهو بسيط وغير مكلف ويمكن إجراؤه بسهولة في العيادات الخارجية. نظراً لأن الربو يتميز بتقلبات في مجرى الهواء، فإن مثل هذا الاختبار يمكن أن يكون مفيداً في تشخيص وتقييم شدة الحالة [7].

يشير الخبراء إلى أنه لا يوجد وزن مثالي وصحي واحد ينطبق على جميع الأفراد، حيث تساهم مجموعة متنوعة من العوامل في تحديد ذلك. وتشمل هذه العوامل العمر، ونسبة الدهون إلى العضلات، والطول، والجنس، وتوزيع الدهون في الجسم، والتي يشار إليها عادةً بشكل الجسم [8].

2. الهدف من الدراسة Aim of the study

هدفت هذه الدراسة إلى تتبع الحالة الصحية لمجموعة من الطلبة وذلك من خلال قياس معدل ذروة التدفق الزفيري وكذلك إيجاد العلاقة بين الوزن والطول والجنس مع معدل ذروة التدفق الزفيري، وكذلك مقارنة القيم الطبيعية لمعدل ذروة التدفق الزفيري لطلبة الكلية وطلبة المدارس ومقارنتها بالقيم المسجلة بالقياس الأوروبي.

3. الدراسات السابقة Review of Literatures

هدفت الدراسة إلى تطوير مخطط معادلة لذروة سرعة جريان هواء الزفير لدى الأطفال الليبيين، ومن بين 900 طفل تم اختيارهم عشوائياً من تلاميذ أربع مدارس ابتدائية في طرابلس، اطبقت معايير الاختيار لهذه الدراسة على 670 طفلاً (330) من الإناث و340 من الذكور) وترواحت أعمارهم من 4.5 إلى 14.9 سنوات. وتم تسجيل ذروة سرعة الجريان الزفيري في وضع الوقوف باستعمال مقياس mini-Wright peak flow meter وكذلك قياسات الوزن والطول ومحيط الرأس ومحيط منتصف العضد. وتم حساب المساحة ونسبة كتلة الجسم. وأظهرت النتائج أن ذروة سرعة الجريان الزفيري مرتبطة بدرجة جوهرية بالطول ($r=0.74$) والمساحة ($r=0.64$) والوزن ($r=0.62$) ($P<0.001$) (1) وخلصت الدراسة إلى أن مخطط المعادلة لذروة سرعة الجريان الزفيري في الأطفال الليبيين يختلف عن المستوى البريطاني، الأمر الذي يبرز الحاجة إلى مخطط معادلة مرجعي محلي [9].

بينت نتائج هذه الدراسة وجود علاقة إيجابية بين العمر والطول والوزن وPEFR، أيضاً تم تحديد معدلات الانحدار لـ PEFR للأولاد والبنات بشكل منفصل، حيث كانت قيم PEFR لدى الأولاد أعلى من البنات في جميع القياسات. حيث كانت معادلة التنبؤ لـ PEFR على أساس الارتفاع القياسي هي 3.64 PEFR وبارتفاع (سم) ($r=0.70$, $R=0.47$) ($R^2=0.22$, $R=0.47$) (257.86) في البنات. بينما كانت قيمة PEFR في الأولاد 4.7 وبارتفاع (سم) ($r=0.62$, $R=0.47$) (346.51) ($R^2=0.38$). أيضاً استنتجت الدراسة أن قياس PEFR هو قياس موثوق ويمكن استخدامه بشكل روتيني ومنتظم في المناطق الريفية لتقدير انسداد مجري الهواء [10].

أظهرت نتائج هذه الدراسة أن جميع المتغيرات المستقلة الثلاثة (العمر، الطول، والوزن) كان لها علاقة إيجابية معنوية مع PEFR، في كلا الجنسين. أيضاً كان الارتفاع مرتبطة معنوي مع قيم PEFR في كلا من الأولاد ($r=0.970$) والبنات ($r=0.964$) وكان متوسط قيمة PEFR عند الأولاد (249.34 ± 81.36 لتر / دقيقة) أعلى بكثير من البنات (233.31 ± 67.06 لتر / دقيقة). تم أيضاً تحديد معدلات الانحدار لـ PEFR باستخدام العمر والطول والوزن بشكل منفصل بين الجنسين [11].

خلصت هذه الدراسة والتي أجريت على 1205 طفل (51% ذكور و49% إناث) تراوحت أعمارهم بين 6 إلى 14 سنة حيث تم تسجيل العمر والجنس وقيمة PEFRR. كان متوسط قيم PEFRR للفئة العمرية من 6 إلى 14 عاماً هو 225 ± 90.07 لتر / دقيقة. يتمتع الأولاد بقيمة PEFRR أعلى من الفتيات في نفس الفئة العمرية. وبالتالي يمكن استخدام قيم PEFR في هذه الدراسة سريرياً كقيمة مرجعية للأطفال الذين تتراوح أعمارهم بين 6 إلى 14 عاماً [12].

توصلت دراسة أجريت على 1312 طفل من أطفال المدارس في السعودية حيث تم قياس ذروة التدفق الزفيري لهم باستخدام مقياس ذروة التدفق الزفير PEFR. تم إنشاء معادلة الانحدار الخطي المتعدد لمعدل تدفق الزفيري الأقصى حيث كان الطول والอายه والوزن هي المتغيرات المستقلة، وجد أن الطول والعمر والوزن يرتبط بشكل كبير مع ذروة معدل تدفق الزفيري [13].

أجريت هذه الدراسة المقطعيية لقياس قيم PEFR هو اختبار لوظائف الرئة الذي يمكن قياسه وتقديره بسهولة لدى الأطفال العاديين الذين يذهبون إلى المدرسة ببنغلاديش، تم اختيار 4 مدارس. تم اختيار ما مجموعه 984 (499 ذكور و485 فتاة، بنسبة متساوية تقريباً) وكانت الفئات العمرية (6-15 عاماً) أظهرت النتائج أن متوسط الفرق في قيم PEFR بين الفئات العربية 6 و7 و8 سنوات لم يكن له أي دلالة معنوية (قيمة $0.18 < P < 0.73$ و $0.70 < P < 0.73$ على التوالي) كان متوسط فرق PEFR بين الأولاد والبنات كبيراً ($P<0.01$). كان معامل الارتباط و PEFR في حالة الأولاد والبنات معنويًا ($P<0.001$). كان ارتباط الطول (الأولاد $r=0.961$ والبنات $r=0.954$) مع PEFR هو الأعلى مقارنة بالمتغيرات التي تم قياسها (العمر والجنس وزن الجسم). كان لدى الأولاد قيم PEFR أعلى بكثير من الفتيات في أي ارتفاع [14].

توصلت دراسة أجريت على عدد 2000 طالب، استبعد منهم 80 طالب من الدراسة بحيث كان العدد 1920 طفلاً أصحاب تراوحت أعمارهم ما بين 12-18 عاماً. ومن بينهم 719 ذكور و1,201 إثناً ثانية. أشارت النتائج إلى أن متوسط الطول والوزن ومؤشر كتلة الجسم (BMI) و PEFR 155.98 ± 14.99 سم، و 16.95 ± 51.38 كجم، و 4.79 ± 20.62 كجم/م² و 113.55 ± 339.31 لتر/دقيقة، على التوالي. أيضاً بينت النتائج أن العمر هو العامل الأقوى المرتبط بـ PEFR ($r=0.532$, $P<0.001$). وكانت معدلات الانحدار هي $(1.34 \times \text{ارتفاع}) + (1.41 \times \text{الوزن})$ [15].

الوزن) + 16.56 (العمر) - 137.88 للذكور ($P < 0.001$) و $R^2 = 0.751$ و $1.31 \times \text{الارتفاع} + 0.94 \times \text{الوزن} + 7.30 \times \text{العمر} - 55.27$ للإناث ($P < 0.001$) ($R^2 = 0.507$) [15].

اهتمت هذه الدراسة بتقييم التباين النهاري لذروة تدفق الزفير على مدى 10 أيام في 40 مريضاً مصاباً بالربو تم تقييمهم سريرياً على أنهم مستقرون. أظهر ثلاثة مريضان انتفاخاً انتفاخاً صباغياً في ذروة تدفق الزفير، ويبعد أن تكرار حدوث ذلك مرتبط بسرعة الانفاس. وكانت النسبة المئوية التي تظهر انتفاخات كبيرة ومعتدلة وغير مهمة مماثلة لتلك الموصوفة لدى مرضى الربو الذين يدخلون المستشفى بسبب تفاقمها. لم يكن من الممكن الاعتقاد بأن العديد من مرضانا المستقرين ظاهرياً كانوا يظهرون انتفاخات عالية في السعة مثل تلك المرتبطة بالموت المفاجئ غير المتوقع [16].

تمت دراسة في نيجيريا بقياس معدل ذروة تدفق الزفير (PEFR) باستخدام مقياس ذروة تدفق الزفير Mini-Wright في 263 طالباً و 275 فتاة، تراوحت أعمارهم من 6.0 سنوات إلى 19.0 سنة (المتوسط 11.9 +/- 3.8 سنة للأولاد و 11.8 +/- 3.9 سنة للبنات). كان متوسط معدل التنفس الزفيري 359.2 لتر/دقيقة (النطاق 102.0 +/- 610.0-160.0 لتر/دقيقة) عند الأولاد و 81.3 +/- 327.7 لتر/دقيقة (النطاق 500.0-160.0 لتر/دقيقة) عند البنات. وبصرف النظر عن الأعمار 17 و 18 و 19 عاماً، كانت معدلات ذروة تدفق الزفير متشابهة لدى الأولاد والبنات. في كلا الجنسين، يرتبط معدل PEFR بشكل إيجابي وهام مع العمر والطول والوزن ومساحة سطح الجسم [17].

4. المواد وطرق العمل Materials and Methods

أجريت الدراسة خلال شهر إبريل ومايو من عام 2024 على إجمالي عدد 160 طفلاً من أطفال المدارس (80 ولد و 80 بنت) وذلك بعد أخذ الموافقة من الكلية ومراسلة تلك المدارس والتنسيق معها. حيث تراوحت أعمارهم بين 9 و 10 سنوات. شملت المرحلة الأولى من الدراسة 4 مدارس موزعة في مدينة مصراته وكان أخذ القياسات (قياس ذروة معدل التدفق الزفيري) أثناء ساعات الدراسة في الفترة المسائية.

المرحلة الثانية من الدراسة أجريت على عدد 133 طالب من كلية العلوم، وذلك بعد أخذ الموافقة من قسم علم الحيوان، حيث تم فحص عدد (23 طالباً و 110 طالبة)، وتراوحت أعمارهم ما بين (18 إلى 24) وأخذت القياسات التالية:

1. تم قياس الطول والوزن بعد نزع الحذاء وبملابس خفيفة باستخدام مقياس ثابت من نوع RGZ-160.

2. تم أخذ قياس ذروة التدفق الزفيري للأطفال باستخدام جهاز Vitalo graph - Mini Wright رقم 43150 من شركة Vitalo graph و صنع Ennis Ireland بينما لطلبة الكلية استخدم جهاز peak Flow Meter رقم 43400G من شركة Vitalo graph رقم 43400G من شركة Ennis Ireland حيث تم أخذ أفضل التسجيلات الثلاثة للمقارنة مع كل متغير.

3. تم تسجيل كل تلك البيانات والقياسات (طول، وزن، معدل ذروة التنفس) في مذكرة خارجية لعرض ترتيب البيانات و عمل التحليل الإحصائي المطلوب.

4. تم استخدام مقياس ذروة التدفق على طريقة الاتحاد الأوروبي (50-250 لتر / دقيقة) للأطفال أما للكبار (50-800 لتر / دقيقة). والمقياس عبارة عن أنبوب بلاستيكي أسطواني الشكل على سطحه مقياس متدرج وبه من الأمام قطعة فيه يمكن استبدالها بعد فحص الشخص. مؤشر PEFR يبقى في مكان القراءة ما لم يتم إعادة بطيئاً من قبل المشغل، تم أخذ جميع القياسات لـ PEFR في وضعية الجلوس المرريح مع إرجاع الظهر إلى الخلف، أيضاً تم شرح الغرض من الاختبار أو الفحص لكلاً من الأطفال وطلبة الكلية بالتفصيل، وذلك من أجل الحصول على التعاون الكامل والمعلومات عن الحالة الصحية لكل شخص، بما يضمن لنا تحقيق أفضل النتائج.

آلية القياس هي أن يأخذ الشخص نفساً عميقاً، ثم النفخ في مقياس ذروة التدفق بقوه وبسرعة ممكنه من خلال قطعة الفم، وتم مراقبته عن كثب للتتأكد من أنه يحافظ على إغلاق حكم للهواء بين الشفتين وقطعة الفم. تم تكرار الإجراء ثلاث مرات وتم أخذ أعلى قيمة لـ PEFR. تم استخدام قطع الفم التي يمكن التخلص منها أو تعقيمها بعد نهاية كل فحص.

5. تم استخدام معادلة رياضية لتحديد الوزن المثالي بناءً على الطول. على الرغم من وجود بعض الاستثناءات لهذه المعادلة، إلا أنه يمكن تطبيقها في العديد من الحالات. المعادلة كالتالي:

بالنسبة للرجال، يُحسب الوزن المثالي بالكيلوغرام على النحو التالي $48 + 1.1 \times (\text{الطول بالسنتيمتر} - 150)$ سم).

بالنسبة للنساء، يتم حساب الوزن المثالي بالكيلوغرام على النحو التالي: $45 + 0.9 \times (\text{الطول بالسنتيمتر} - 150)$ سم). على سبيل المثال، إذا نظرنا إلى رجل يبلغ طوله 180 سنتيمتراً، فسيتم حساب وزنه المثالي على النحو التالي $48 + 1.1 \times 180 - 45 = 81$ كيلوغراماً [18].

5. التحليل الإحصائي Statistical analysis

5.1 معامل الارتباط (ارتباط بيرسون Pearson Correlation): وتم استخدامه لدراسة العلاقة بين معدل ذروة التنفس والوزن والطول لطلبة المرحلة الجامعية فإذا كانت قيمة مستوى الدلالة P -value أقل من 0.05 فهذا يدل على وجود علاقة دالة إحصائية.

5.2 تحليل التباين الأحادي One way ANOVA: تم استخدام هذا الاختبار لدراسة الفروق المعنوية بين معدل ذروة التنفس للمتغيرات التي تحوي أكثر من قيمتين مثل المدرسة، فإذا كانت قيمة مستوى المعنوية المشاهد $\{P\text{-value}\}$ أكبر من $P \geq 0.05$ فهذا يدل على أنه لا توجد اختلافات معنوية بين القيمتين والعكس صحيح.

5.3 اختبار t لعينتين مستقلتين Independent Samples t Test: تم استخدام هذا الاختبار لدراسة الفروق المعنوية بين معدل ذروة التنفس للمتغيرات التي تحوي قيمتين مثل الجنس، فإذا كانت قيمة مستوى المعنوية المشاهد (P-value) أكبر من $P \geq 0.05$ فهذا يدل على أنه لا توجد اختلافات معنوية بين القيمتين والعكس صحيح.

6. النتائج Results

من خلال استعراض نتائج الدراسة والتي تمت على عدد 160 طالب مرحلة ابتدائية (80 ذكور و 80 إناث) وعدد 133 طالب مرحلة جامعية (23 ذكور و 11 إناث) وبجمل عمر تراوح ما بين (9 إلى 22) كل القياسات أخذت من طلبة مدينة مصراته خلال فترة الدراسة في شهر 4 و 5-2024.

جدول (1): المتوسط والخطأ المعياري لقيم القياسات البشرية وPEF بين المراحل التعليمية.

| %95 فترة ثقة للوسط 95% Confidence Interval for Mean | | الخطأ المعياري Std. Error | الانحراف المعياري Std. Deviation | الوسط Mean | العدد N | المرحلة التعليمية |
|--|-------------|---------------------------|----------------------------------|------------|---------|-------------------|
| الحد الأعلى | الحد الأدنى | | | | | |
| 203.54 | 192.21 | 2.87 | 36.25 | 197.88 | 160 | طلبة ابتدائي |
| 322.59 | 278.16 | 11.23 | 129.49 | 300.38 | 133 | طلبة كلية العلوم |

يوضح الجدول (1) الوسط والانحراف المعياري والخطأ المعياري وكذلك الحد الأدنى والأعلى لمتوسط معدل ذروة التنفس عند 95% ثقة، حيث خلصت النتائج بمتوسط وخطأ معياري لمعدل ذروة التنفس الزفيري (197.88 ± 2.87) لطلبة المرحلة الابتدائية بينما كان (300.38 ± 11.23) لطلبة المرحلة الجامعية مما يتضح أنه كلما زاد العمر زاد معدل ذروة التنفس الزفيري.

وتم دراسة المقارنات بين المراحل التعليمية عن طريق اختبار t لعينتين مستقلتين Independent Samples t Test وكانت قيمة مستوى الدلالة P-value=0.000 مما يدل على وجود اختلافات بين المراحلتين من حيث معدل ذروة التنفس الزفيري وأنه في طلبة الكلية كان أعلى من المرحلة الابتدائية.

جدول (2): المتوسط والخطأ المعياري لمعدل التنفس الزفيري PEFR بين المدارس المختلفة في المرحلة الابتدائية.

| %95 فترة ثقة للوسط 95% Confidence Interval for Mean | | الخطأ المعياري Std. Error | الانحراف المعياري Std. Deviation | الوسط Mean | العدد N | المدرسة |
|--|-------------|---------------------------|----------------------------------|------------|---------|-----------|
| الحد الأعلى | الحد الأدنى | | | | | |
| 199.54 | 180.20 | 4.78 | 30.22 | 189.87 | 40 | المدرسة م |
| 211.75 | 190.24 | 5.32 | 33.63 | 201.00 | 40 | المدرسة ر |
| 209.37 | 180.88 | 7.036 | 43.94 | 195.12 | 39 | المدرسة ع |
| 216.45 | 194.04 | 5.543 | 35.49 | 205.24 | 41 | المدرسة ي |

من خلال عرض النتائج في الجدول (2) والتي تبين الوسط والانحراف المعياري والخطأ المعياري وكذلك الحد الأدنى والأعلى لمتوسط معدل ذروة التنفس عند 95% ثقة، حيث خلصت النتائج بمتوسط وخطأ معياري لمعدل ذروة التنفس الزفيري بالترتيب كما في الجدول (189.87 \pm 4.78) لمدرسة مصراطه المركزية و (201.00 \pm 5.32) لمدرسة رمضان السويحلي و (195.12 \pm 7.036) لمدرسة عباد وأخيراً (205.24 \pm 5.543) لمدرسة يدر، وباستخدام تحليل التباين الأحادي One way ANOVA لمقارنة بين القيم فقد كانت قيمة مستوى الدلالة المعنوية P-value=0.246 مما يدل على وجود اختلافات ولكنها لم تصل إلى درجة المعنوية بين المدارس المختارة للدراسة.

جدول (3): المتوسط والخطأ المعياري (mean \pm SD) لمعدل ذروة التنفس الزفيري بين الجنسين.

| %95 فترة ثقة للوسط 95% Confidence Interval for Mean | | الخطأ المعياري Std. Error | الانحراف المعياري Std. Deviation | الوسط Mean | العدد N | الجنس |
|--|-------------|---------------------------|----------------------------------|------------|---------|-------|
| الحد الأعلى | الحد الأدنى | | | | | |
| 308.42 | 250.00 | 14.72 | 148.72 | 279.21 | 102 | ذكر |
| 234.84 | 216.77 | 4.58 | 63.32 | 225.81 | 191 | أنثى |

يوضح الجدول (3) الوسط والانحراف المعياري والخطأ المعياري وكذلك الحد الأدنى والأعلى لمتوسط معدل ذروة التنفس عند 95% ثقة، وتم دراسة المقارنات بين المدارس عن طريق اختبار t لعينتين مستقلتين Independent Samples t Test وكانت قيمة المتوسط والخطأ المعياري لمعدل ذروة التنفس الزفيري 14.72 ± 4.58 (225.81 ± 4.58) بالنسبة للذكور بينما كان المتوسط والخطأ المعياري لمعدل ذروة التنفس الزفيري 14.72 ± 4.58 (225.81 ± 4.58) باستخدام تحليل التباين للمقارنة بين القيم فقد كانت قيمة مستوى الدلالة المعنوية $P\text{-value}=0.001$ مما يدل على وجود اختلافات بين الجنسين من حيث معدل ذروة التنفس وأنه عند الذكور أعلى من الإناث.

جدول (4): المتوسط والخطأ المعياري لمعدل ذروة التنفس الزفيري لأعمار المرحلة الابتدائية.

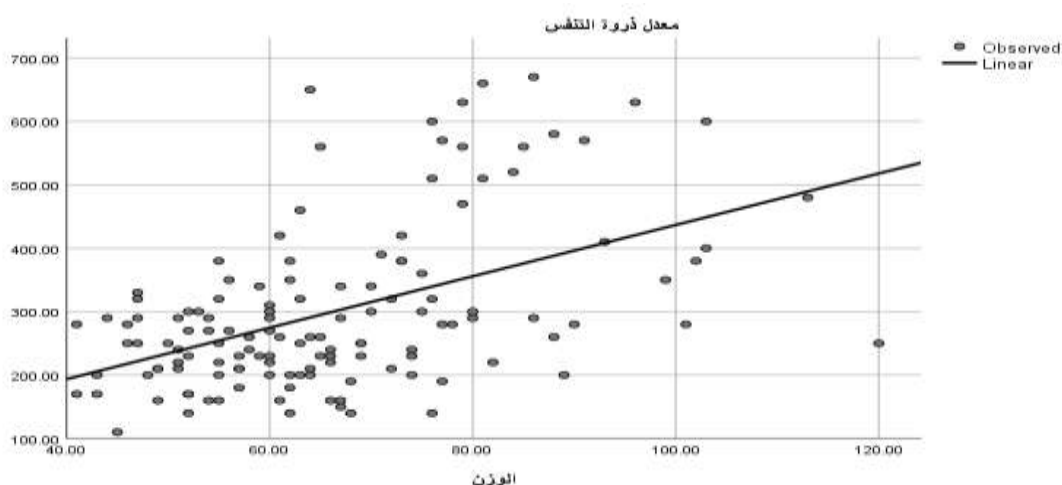
| فتره ثقة للمتوسط 95% Confidence Interval for Mean | | الخطأ المعياري Std. Error | الانحراف المعياري Std. Deviation | المتوسط Mean | العدد N | العمر |
|---|-------------|---------------------------------|--|-----------------|------------|----------|
| الحد الأعلى | الحد الأدنى | | | | | |
| 196.02 | 181.10 | 3.74 | 33.51 | 188.56 | 80 | 9 سنوات |
| 215.35 | 199.02 | 4.10 | 36.68 | 207.18 | 80 | 10 سنوات |

يوضح الجدول (4) الوسط والانحراف المعياري والخطأ المعياري وكذلك الحد الأدنى والأعلى لمتوسط معدل ذروة التنفس عند 95% ثقة، وتم دراسة المقارنات بين المدارس عن طريق اختبار t لعينتين مستقلتين Independent Samples t Test وكانت قيمة المتوسط والخطأ المعياري 188.56 ± 3.74 لتر/الدقيقة (4.10 لتر/الدقيقة) للعمر التسع سنوات بينما كانت قيمة المتوسط والخطأ المعياري 207.18 ± 4.10 لتر/الدقيقة للعمر العشرين سنة وباستخدام تحليل التباين الأحادي One way ANOVA أوضحت النتائج المتحصل عليها أن الدلالة معنوية $P\text{-value}=0.001$ مما يدل على وجود اختلافات بين الأعمار من حيث معدل ذروة التنفس وأنه عند عمر العشرين سنة أعلى من التسعة سنوات. تم دراسة العلاقة بين معدل ذروة التنفس والوزن عن طريق معامل الارتباط لبيرسون وكذلك الانحدار الخطى البسيط وكانت النتائج كما بالجدول رقم (5).

جدول (5): العلاقة بين معدل ذروة التنفس والوزن.

| الدالة- P value | t-test | الدالة- value | F-test | R Square معامل التحديد | R معامل الارتباط |
|--------------------|--------|-------------------|--------|---------------------------|---------------------|
| .000 | 6.387 | .000 ^b | 40.799 | .237 | .487 ^a |

من خلال النتائج التي تم الحصول عليها بالجدول رقم (5) نجد أن مستوى الدلالة أقل من 0.05 مما يدل أن العلاقة دالية بين معدل ذروة التنفس والوزن ونجد أن معامل الارتباط موجب مما يدل على وجود علاقة طردية ومن خلال قيمة R Square معامل التحديد يمكننا القول إن 24% من التغيير في معدل ذروة التنفس يعتمد على الوزن وبذلك يمكن القول إنه (توجد علاقة بين معدل ذروة التنفس والوزن وأنه كلما زاد الوزن زاد معدل ذروة التنفس) والشكل (1) يبين تزايد ذروة التنفس مع الوزن.



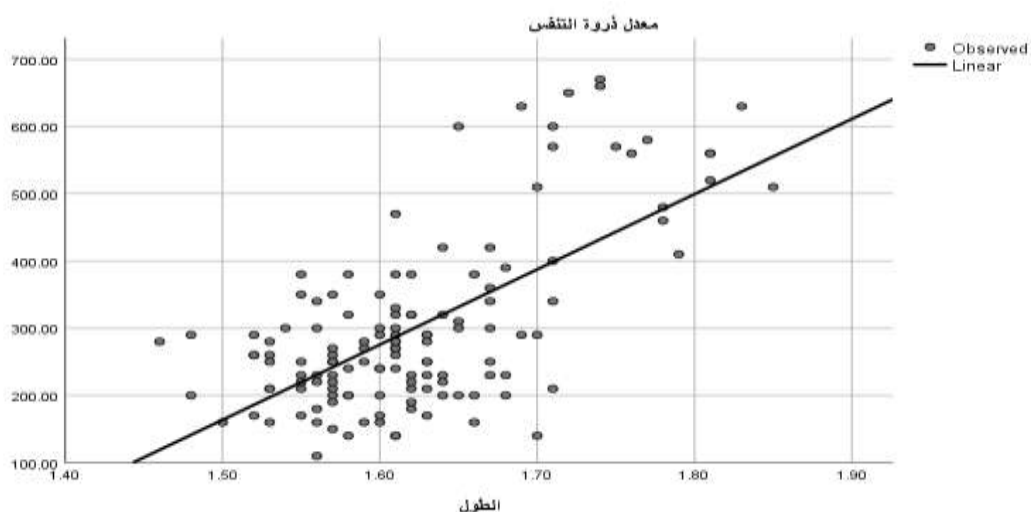
شكل (1): يبين خط الانحدار مع توزيع معدل ذروة التنفس مع الوزن.

تم دراسة العلاقة بين معدل ذروة التنفس والطول عن طريق معلم الارتباط لبيرسون وكذلك الانحدار الخطي البسيط وكانت النتائج كما بالجدول رقم (6).

جدول (6): يبين العلاقة بين معدل ذروة التنفس والطول.

| P- الدالة value | t-test | P- الدالة value | F-test | R Square معامل التحديد | R معامل الارتباط |
|-----------------------|--------|-----------------------|---------|---------------------------|---------------------|
| .000 | 10.035 | .000 ^b | 100.702 | .435 | .659 ^a |

من خلال النتائج الواردة بالجدول السابق نجد أن مستوى الدالة أقل من 0.05 مما يدل أن العلاقة دالية بين معدل ذروة التنفس والطول ونجد أن معامل الارتباط موجب مما يدل على وجود علاقة طردية ومن خلال قيمة R Square معامل التحديد يمكننا القول إن 44% من التغير في معدل ذروة التنفس يعتمد على الطول وبذلك يمكن القول إنه (توجد علاقة بين معدل ذروة التنفس والطول وأنه كلما زاد الطول زاد معدل ذروة التنفس) والشكل (2) يبين تزايد معدل ذروة التنفس مع الوزن.



شكل (2): يبين خط الانحدار مع توزيع معدل ذروة التنفس مع الطول.

7. المناقشة: DISCUSSION

لتقدير وظائف الرئة على المستويين النوعي والكمي يجب على الأشخاص الأصحاء والمرضى من مراقبة الجهاز التنفسى من وقت لآخر، فقد اكتسب جهاز قياس معدل ذروة التدفق الزفيرى PEFR أهمية في الممارسة السريرية لتقدير أمراض الشعب الهوائية الأنسدافية وأمراض الربو الشعبي وتتبع الحالات التنفسية بشكل خاص. أدى تطوير أداة سهلة الاستعمال والحمل وبسيطة التركيب مثل مقياس معدل ذروة التدفق الزفيرى الذى تتبع الأشخاص المصابين بالأمراض التنفسية وعلى رأسها مرض الربو Asthma، وتقدير درجة انسداد مجرى الهواء والاضطراب في تبادل الغازات، وفي قياس استجابة انسداد الشعب الهوائية [19، 20].

أجريت الدراسة الحالية على عدد 160 طالب وطالبة من مرحلة التعليم الابتدائي مقسمين (60 ذكور & 60 إناث) و133 طالب وطالبة من طلبة كلية العلوم مقسمين (23 ذكور & 110 إناث) وذلك لقياس معدل ذروة التدفق الزفيرى وعلاقته بالوزن والطول والجنس، ومن خلال عرض النتائج تبين أنه هناك اختلاف واضح في متوسط معدل التدفق الزفيرى بين المرحلتين التعليميتين وأن العمر له علاقة إيجابية و $P \leq 0.05$ بمعدل ذروة التنفس الزفيرى PEFR، وسجل متوسط التدفق الزفيرى في الذكور أعلى من الإناث، كذلك أوضحت النتائج أن الوزن والطول لهم علاقة طردية وإيجابية $P \leq 0.05$ بمعدل ذروة التدفق الزفيرى في كلا الجنسين. فقد سجل ارتباط ذروة التدفق الزفيرى مع الوزن ($r=0.487^a$) أما بالنسبة للطول فقد كان ($r=0.659^a$). وعلى غرار نتائج دراستنا الحالية، وجدت العديد من الدراسات الأخرى التي أوضحت أيضاً أن هناك ارتباطاً إيجابياً كبيراً بين PEFR والوزن والطول، مثل دراسة [21-22-23-24-25].

بينما كانت نتائج دراسة (Bhardwaj *et al* 2014) والتي أجريت على عدد 300 من الذكور البالغين الأصحاء. أوضحت أن معدل PEFR يتناقص مع الن詹م في العمر، بسبب التغيرات التتكيسية في الجهاز العضلي مما يؤدي إلى انخفاض قوة عضلات الجهاز التنفسي، بينما يظهر PEFR بعض الانخفاض مع ارتفاع مؤشر كثافة الجسم في الفئة العمرية للمسنين. من خلال نتائجنا نعتقد أن سبب الاختلافات في قيم PEFR بين الجنسين تحدث بسبب الاختلافات في المساك الهوائية وحجم الرئة وسعة الرئة وقوة الجهاز التنفسي.

العديد من الدراسات [26-27-28-29] أظهرت تباين بشأن علاقه الوزن بمعدل ذروة التدفق الزفيري وهذا مخالف لما توصلت إليه نتائج دراستنا.

تبين أيضاً من خلال النتائج التي تم الحصول عليها أن معامل التحديد R^2 لمعدل ذروة التدفق الزفيري والطول ($r=0.435$) كانت أقوى وأكثر ارتباط من معدل ذروة التدفق الزفيري مع الوزن ($r=0.237$) اتفقت العديد من الدراسات مع دراستنا الحالية في أن عامل الطول كان أفضل ارتباط مع معدل ذروة التدفق الزفير [30]، بشكل عام تعتبر قيم معدل التدفق الزفيري في الذكور (279.21 ± 14.72 لتر / دقيقة) والإإناث (225.81 ± 4.58 لتر / دقيقة) منخفضة مع قياس ذروة التدفق (معيار الاتحاد الأوروبي/ EN ISO).

المراجع References

1. James Roland. Everything You Need to Know About Dyspnea (2024): Retrieved on the 28th of May 2024.
2. Kelli Miller. Dyspnea (Shortness of Breath). (2024) Retrieved on the 28th of May 2024.
3. Zhang J, Wurzel DF, Perret JL, Lodge CJ, Walters EH, Dharmage SC. Chronic Bronchitis in Children and Adults (2024): Definitions, Pathophysiology, Prevalence, Risk Factors, and Consequences. *J Clin Med.* 2024 Apr 20; 13(8):2413.
4. Maiolo C; Mohamed EI; Carbonelli M.G. Body composition and respiratory function. *Acta Diabetologica*, (2003): 40 Suppl 1(1):S32-8.
5. Gibson PG. Monitoring the patient with asthma: an evidence-based approach. *J Allergy Clin Immunol.* (2000): Jul. 106 (1 Pt 1):17-26.
6. Roohi Khan, Avadh Kapoor, S. Tahseen Raza, Abdussalam, Seema Singh. (2021). peak expiratory flow rate (pefr) and body mass index (bmi) in adult female: a systematic review. Vol. 8, No. 4; 20-25.
7. Malo JL. Assessment of peak expiratory flow in asthma. *Curr Opin Pulm Med.* (1996): Jan;2(1):75-80.
8. Yvette Brazier "How much should I weigh for my height and age?" (2020): www.medicalnewstoday.com, Retrieved on the 18th of April 2024.
9. FA. Sagher, M.A. Roushdy and A.M. Hweta Peak expiatory flow rate nomogram in Libya schoolchildren (1999): la Revue de santé de la Mediterranean Orientale, vol.5, NO 3, 1999
10. Taksande A, Jain M, Vilhekar K, Chaturvedi P. Peak expiratory flow rate of rural schoolchildren from Wardha district, Maharashtra in India. *World J Pediatr.* (2008) Aug; 4(3):211-4.
11. Mittal S, Gupta S, Kumar A, Singh KD. Regression equations for peak expiratory flow in healthy children aged 7 to 14 years from Punjab (2013): India. *Lung India.* 2013 Jul; 30(3):183-6.
12. A. Gunasekaran. Peak expiratory flow rate in children aged 6 to 14 years (2021): *International Journal of Contemporary Pediatrics* Gunasekaran A. *Int J Contemp Pediatr.* 2021 Aug; 8(8).
13. Al-Dawood K. Peak expiratory flow rate in Saudi school boys at Al-Khobar City, Saudi Arabia (2000): *Saudi Med J.* 2000 Jun;21(6):561-564.
14. Islam MN, Islam MN, Hoque MA, Latif SA, Mollah AH, Hossain MA, Husain MF, Rahman MA, Akhtaruzzaman M, Khan AH, Paul BK, Kundu GK. Peak expiratory flow rate of normal school going children in Mymensingh municipality (2013): *Mymensingh Med J.* 2013 Jul; 22(3): 438-43.
15. Srisingh K, Phuaksaman C. The reference values of peak expiratory flow rate in Thailand children (2021): *J Thorac Dis.* 2021 Jan; 13(1):31-38.
16. Bagg LR, Hughes DT. Diurnal variation in peak expiratory flow in asthmatics. *Eur J Respir Dis.* (1980): Oct; 61(5): 298-302.
17. Jaja SI, Fagbenro AO. Peak expiratory flow rate in Nigerian schoolchildren. (1995): *Afr J Med Med Sci.* 1995 Dec; 24(4):379-84.
18. Peterson CM, Thomas DM, Blackburn GL, Heymsfield SB. Universal equation for estimating ideal body weight and body weight at any BMI. *Am J Clin Nutr.* (2016): May; 103(5):1197-203.

19. Reddel HK, Taylor DR, Bateman ED, Boulet LP, Boushey HA, Busse WW, Casale TB, Chanez P, Enright PL, Gibson PG, de Jongste JC, Kerstjens HA, Lazarus SC, Levy ML, O'Byrne PM, Partridge MR, Pavord ID, Sears MR, Sterk PJ, Showoff SW, Sullivan SD, Szeffler SJ, Thomas MD, Wenzel SE; American Thoracic Society/European Respiratory Society Task Force on Asthma Control and Exacerbations. An official American Thoracic Society/European Respiratory Society statement: asthma control and exacerbations: standardizing endpoints for clinical asthma trials and clinical practice. (2009): *Am J Respir Crit Care Med.* Jul 1; 180(1):59-99.
20. Lahdensuo A, Haahtela T, Herrala J, Kava T, Kiviranta K, Kuusisto P, Perämäki E, Poussa T, Saarelainen S, Svahn T. Randomised comparison of guided self-management and traditional treatment of asthma over one year (1996): *BMJ.* 1996 Mar 23; 312 (7033):748-52.
21. Mohammadzadeh I, Gharagozlou M, Fatemi SA. Normal values of peak expiratory flow rate in children from the town of Babol, Iran. (2006): *Iran J Allergy Asthma Immunol.* 2006 Dec; 5(4):195-8.
22. Malik SK, Jindal SK, Sharda PK, Banga N. Peak expiratory flow rate of healthy schoolboys from Punjab. (1981): *Indian Pediatr.* 1981 Aug; 18(8):517-21.
23. Malik SK, Jindal SK, Sharda PK, Banga N. Peak expiratory flow rates of school age girls from Punjab (1882): (Second report). *Indian Pediatr* 1982; 19:161-4
24. Pulickal AS, Fernandez GV. Peak expiratory flow rate in healthy rural south Indian schoolchildren predicted from body height. (2007): *Indian J Public Health.* 2007 Apr-Jun; 51(2):117-9.
25. Bhardwaj, P.; Poonam, K.; Jha, K.; Bano, M. Effects of age and body on peak-expiratory flow rate in Indian population (2014): *Indian journal of physiology and pharmacology* 58(2): 166- 169.
26. Dhungel KU, Parthasarathy D, Dipali S. Peak expiratory flow rate of Nepalese children and young adults. (2008): *Kathmandu Univ Med J (KUMJ)* 2008; 6:346-54.
27. Lu Y, Zheng J, Liu C, Ai T, et al. Peak expiratory flow among healthy children aged 5-14 years in China. (2018): *J Thorac Dis* 2018; 10:1377-85.
28. Raju PS, Prasad KV, Ramana YV, et al. Study on Lung Function Tests and Prediction Equations in Indian Male Children. (2003): *Indian Pediatr* 2003; 40:705-11.
29. Sharma M, Sharma RB, Choudhary R. Peak expiratory flow rates in children of western Rajasthan 7-14 years of age. (2012): *Pak J Physiol* 2012; 8:45-8.
30. Cb M, Sc K, Babu M. Peak Expiratory Flow Rate In Healthy Rural School Going Children (5-16 Years) of Bellur Region For Construction of Nomogram (2013): *J Clin Diagn Res* 2013;7:2844-6.